

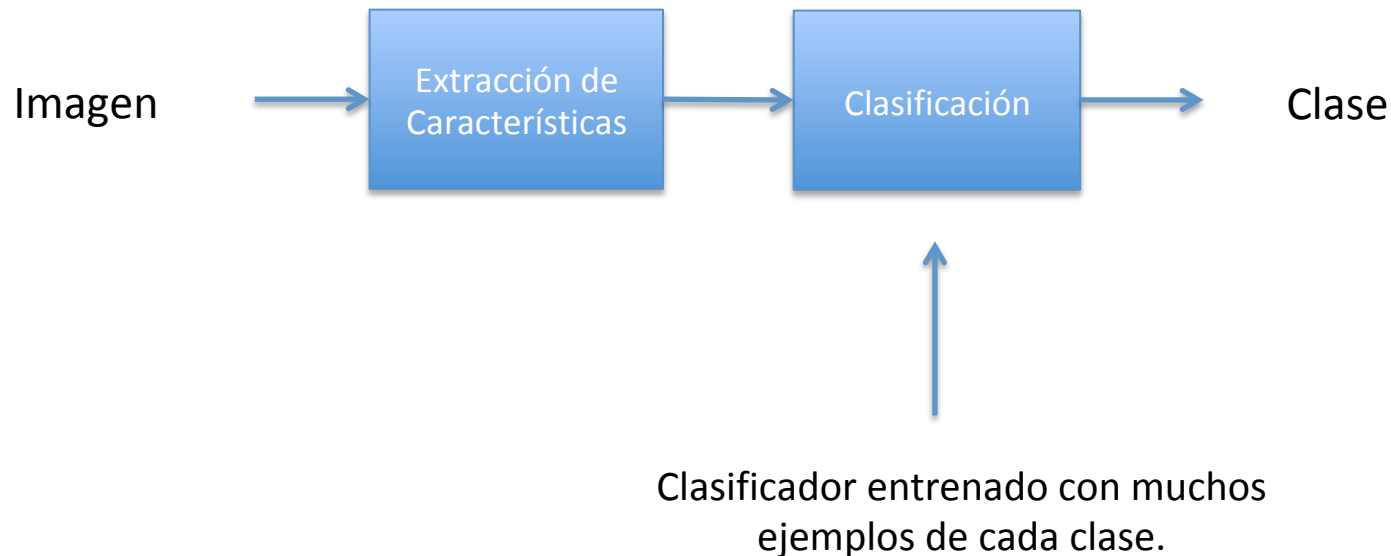
Detección y Reconocimiento de Objetos mediante Descriptores Locales

Procesamiento Avanzado de Imágenes

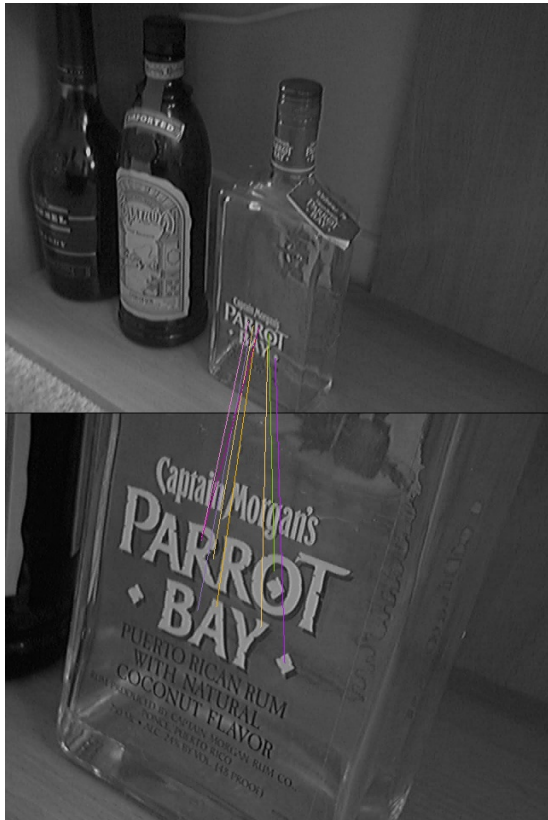
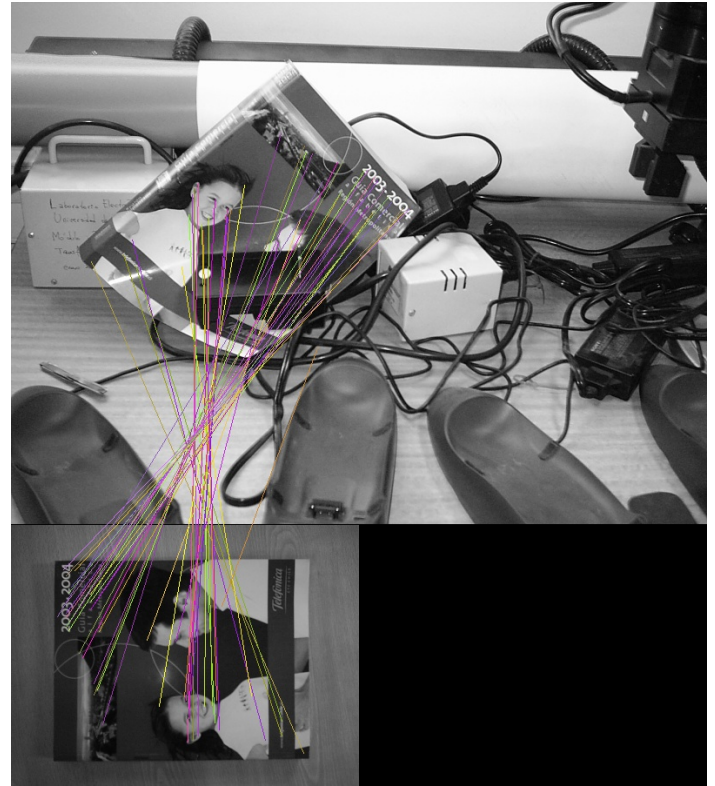
Javier Ruiz del Solar

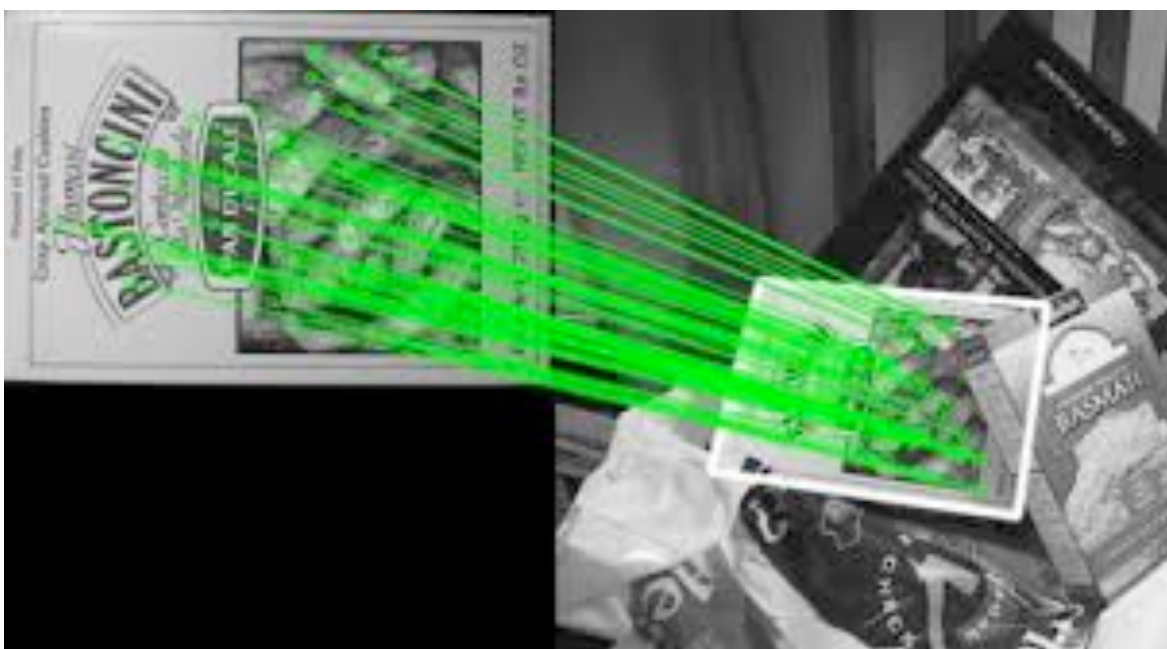
2020

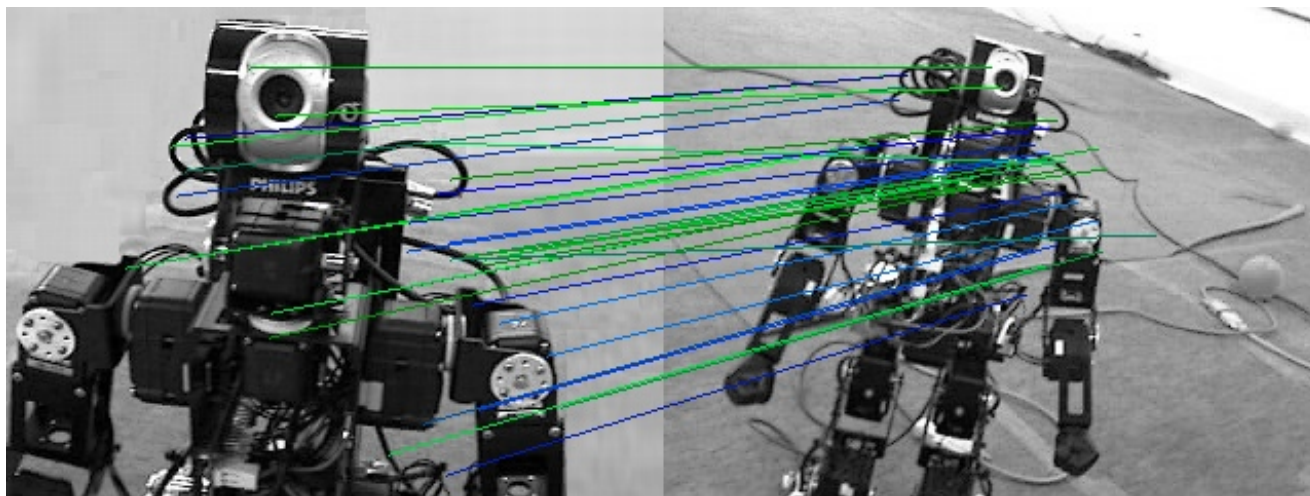
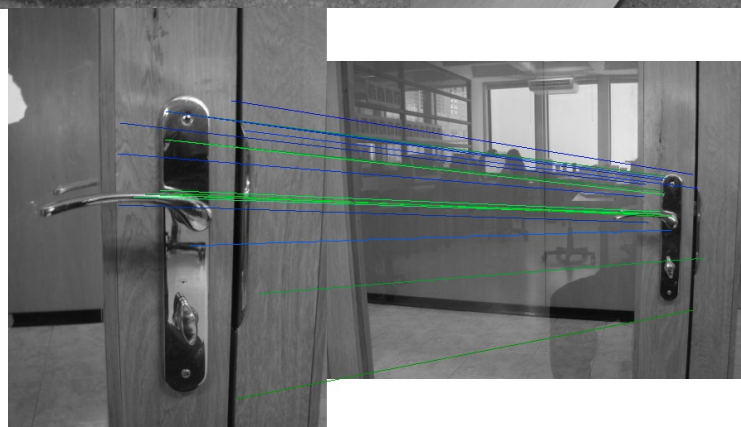
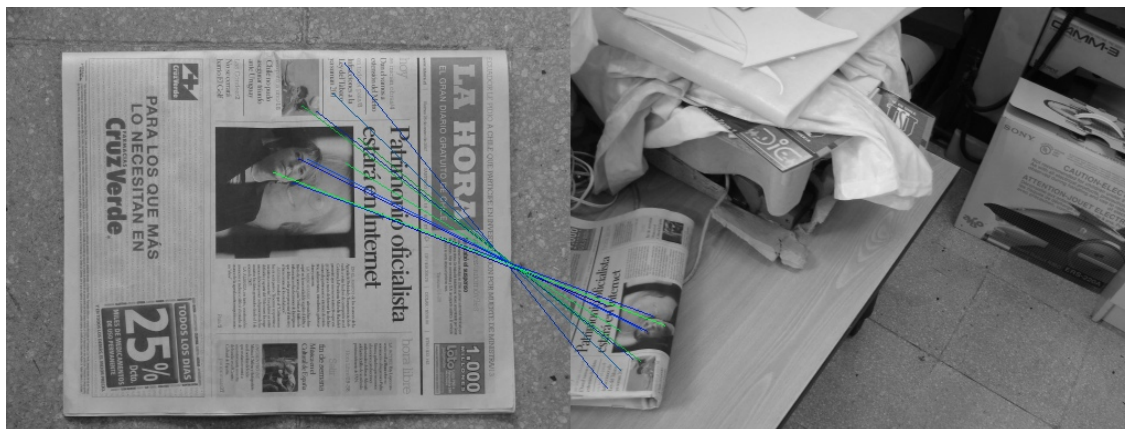
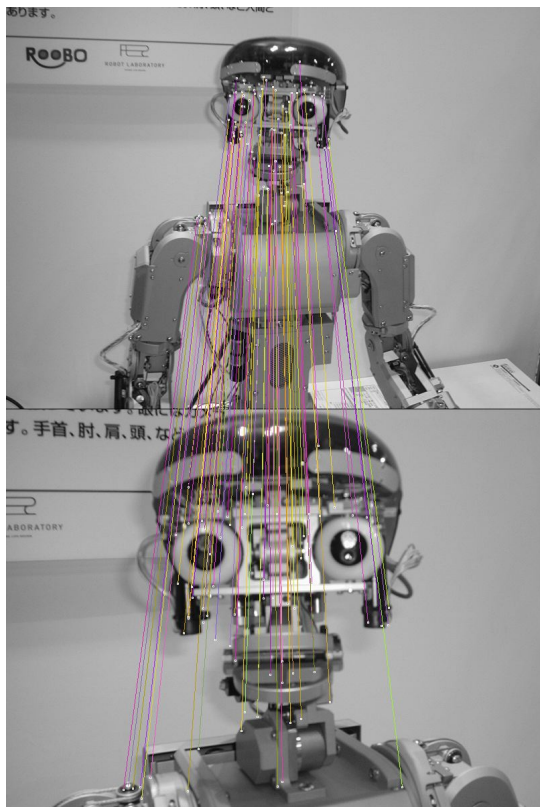
Paradigma Detección/Reconocimiento de Clases de Objetos



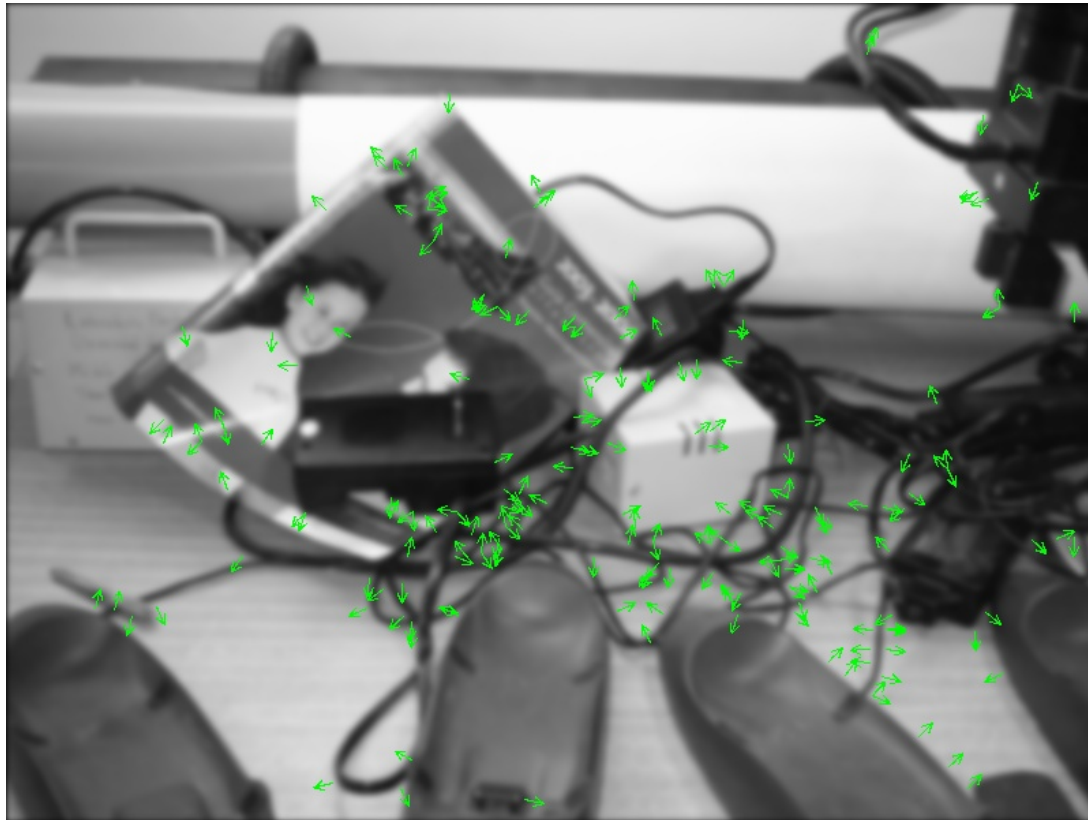
Este paradigma no funciona para instancias de objetos particular.
Dicho problema se puede abordar como uno de matching.
Para esto se usan detectores y descriptores locales.





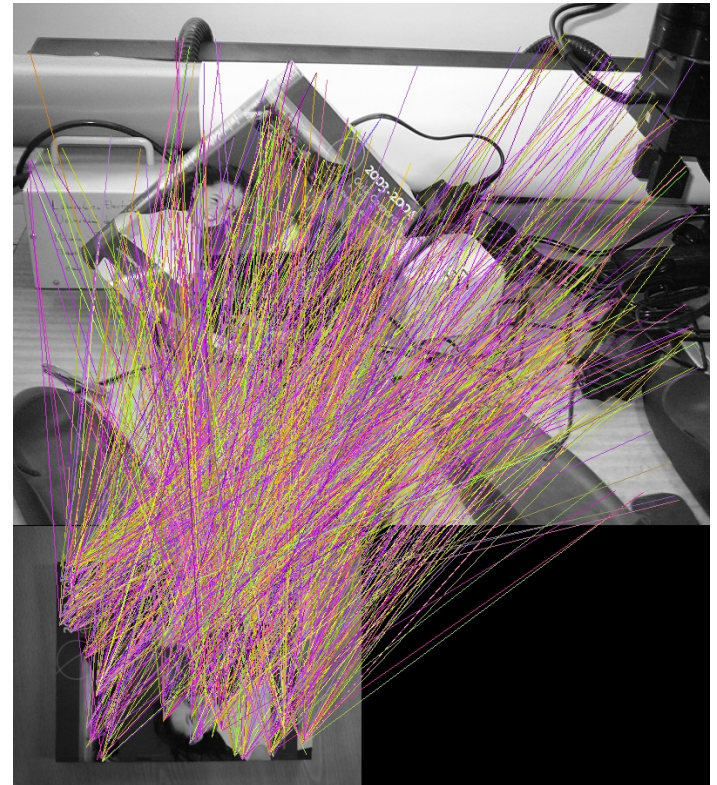
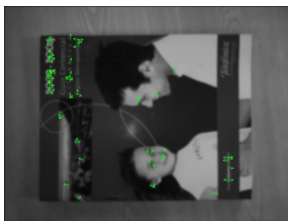
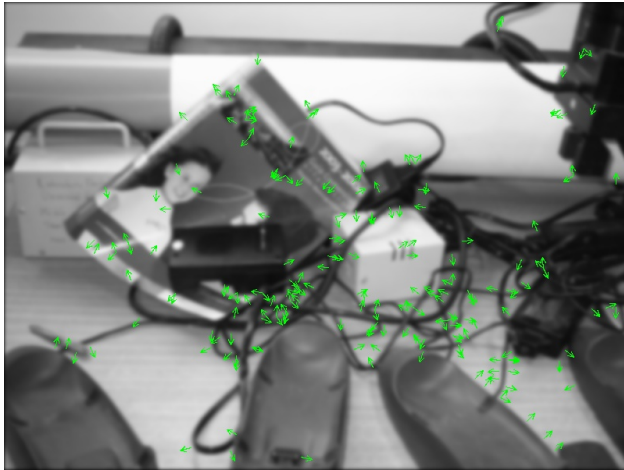


Puntos de Interés y Descriptores

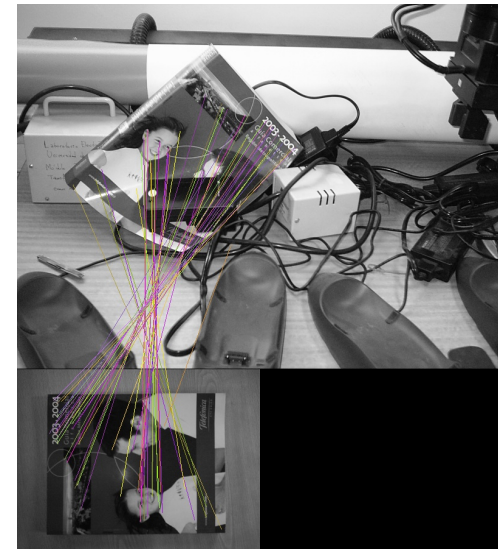
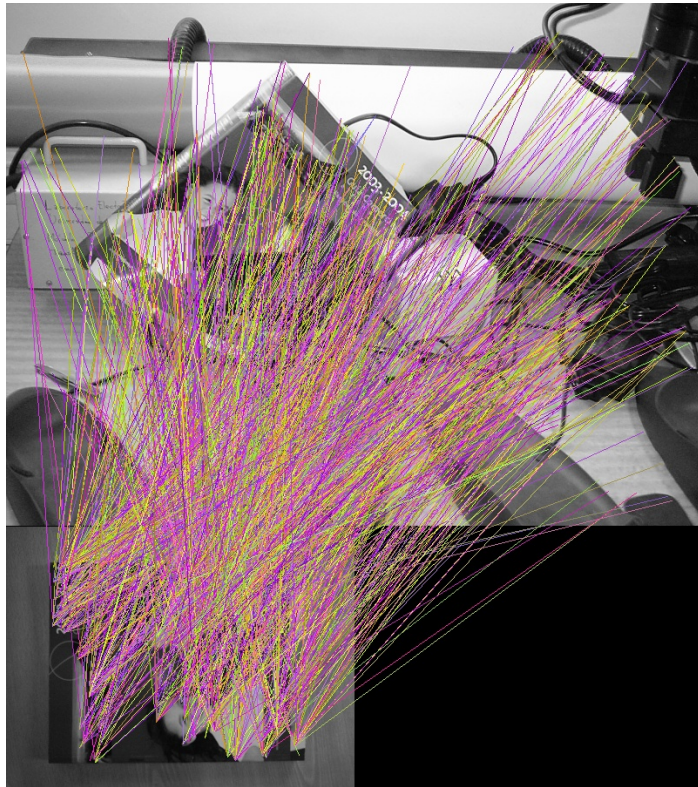


Punto de interés -> discontinuidad; caracterizado por (x,y,θ) y eventualmente s (escala)
Descriptor -> describe vecindad del punto de interés

Matching de Puntos de Interés (via descriptores)

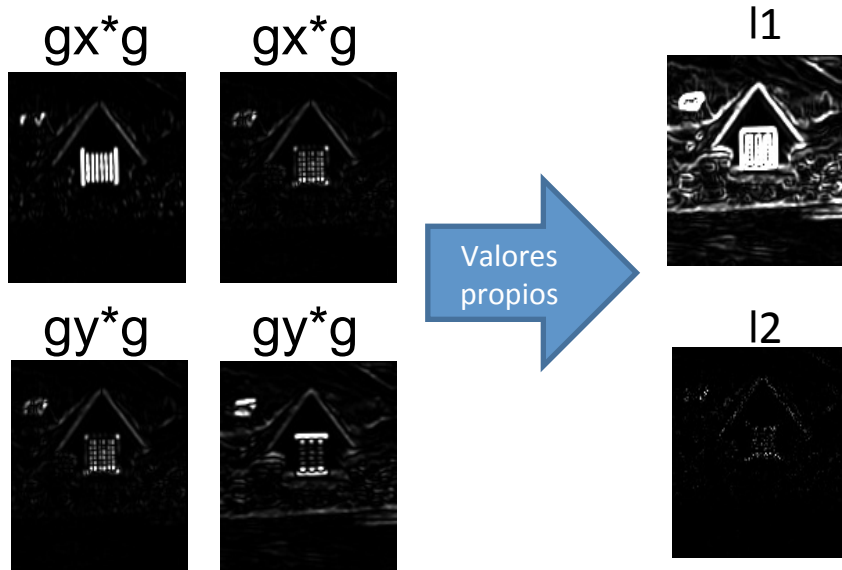


Verificación de Matching (consistencia)

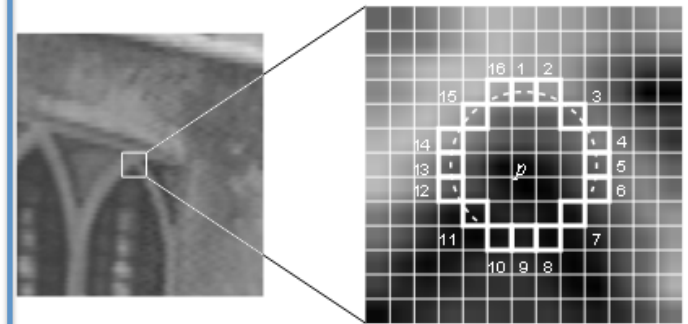


Ejemplos de Puntos de Interés

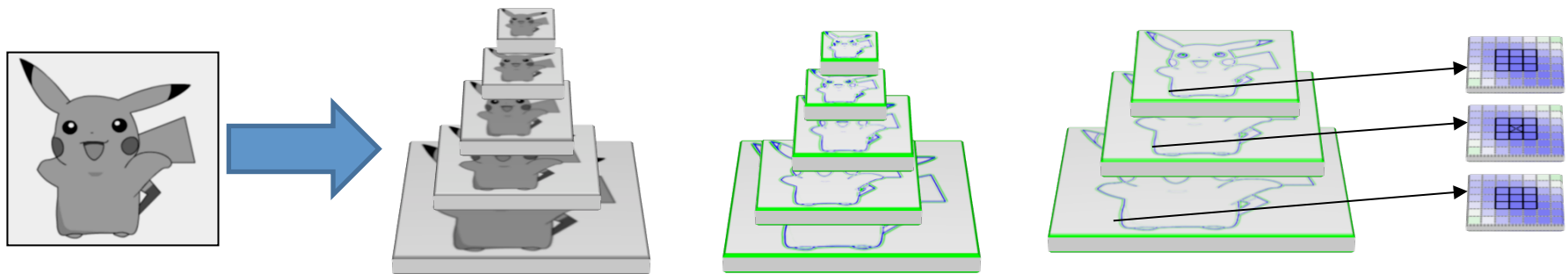
HARRIS



FAST

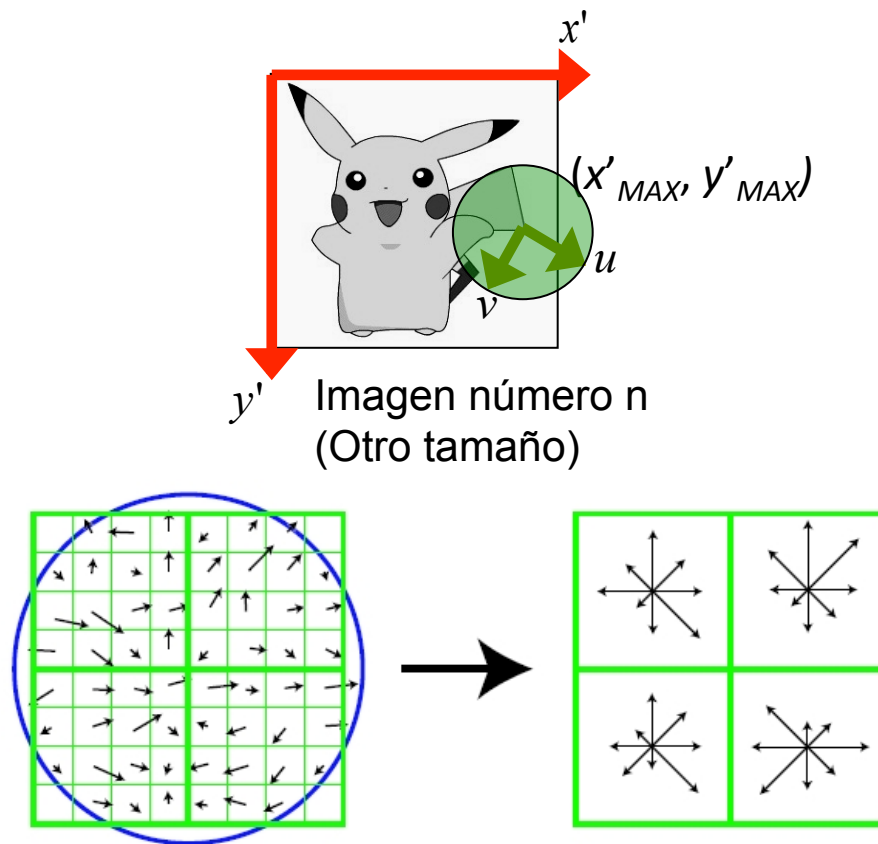


DoG/SDoG

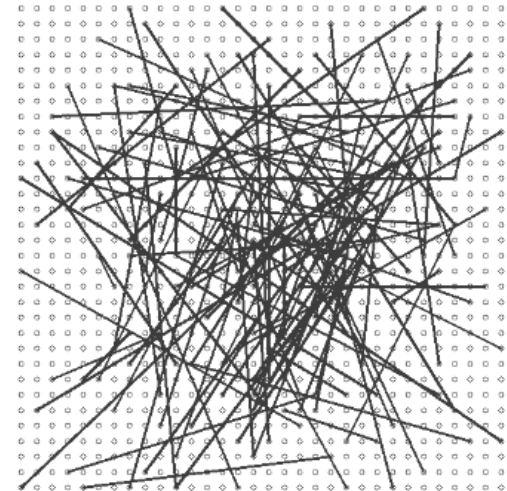


Ejemplos de Descriptores

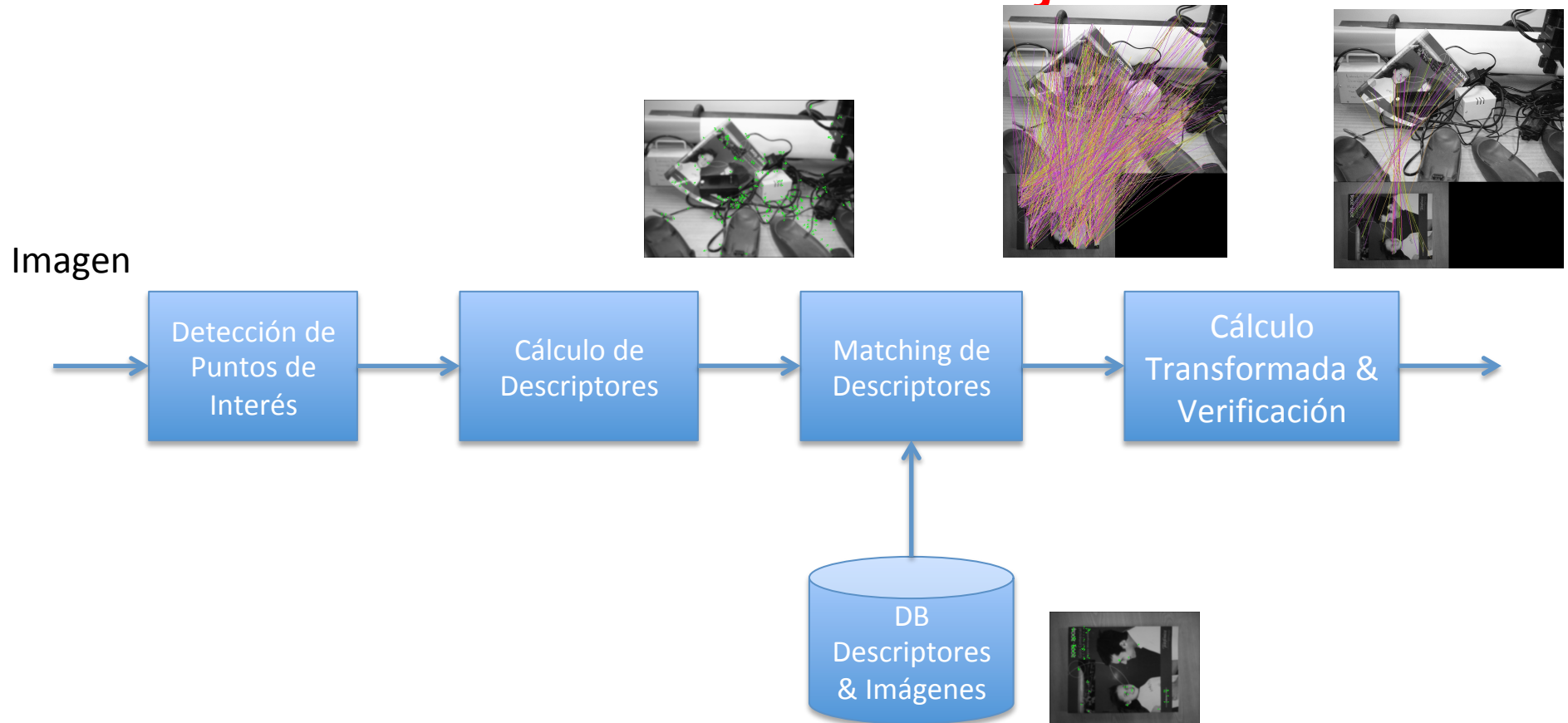
SIFT



BRIEF



Paradigma Detección/Reconocimiento de Instancias de Objetos



Detección de Puntos de Interés

Procesamiento Avanzado de Imágenes

Javier Ruiz del Solar

2020

Detección de puntos de interés

- Se utilizan puntos de interés porque las líneas no tienen suficiente localización.
- Puntos de interés son, usualmente, máximos o mínimos locales de operadores diferenciales (filtros) aplicados sobre la imagen
- Varios tipos :
 - Esquinas
 - De máximos centro-contorno
 - Otros
- Sirve para imágenes con textura (no aparecen descriptores en zonas uniformes)

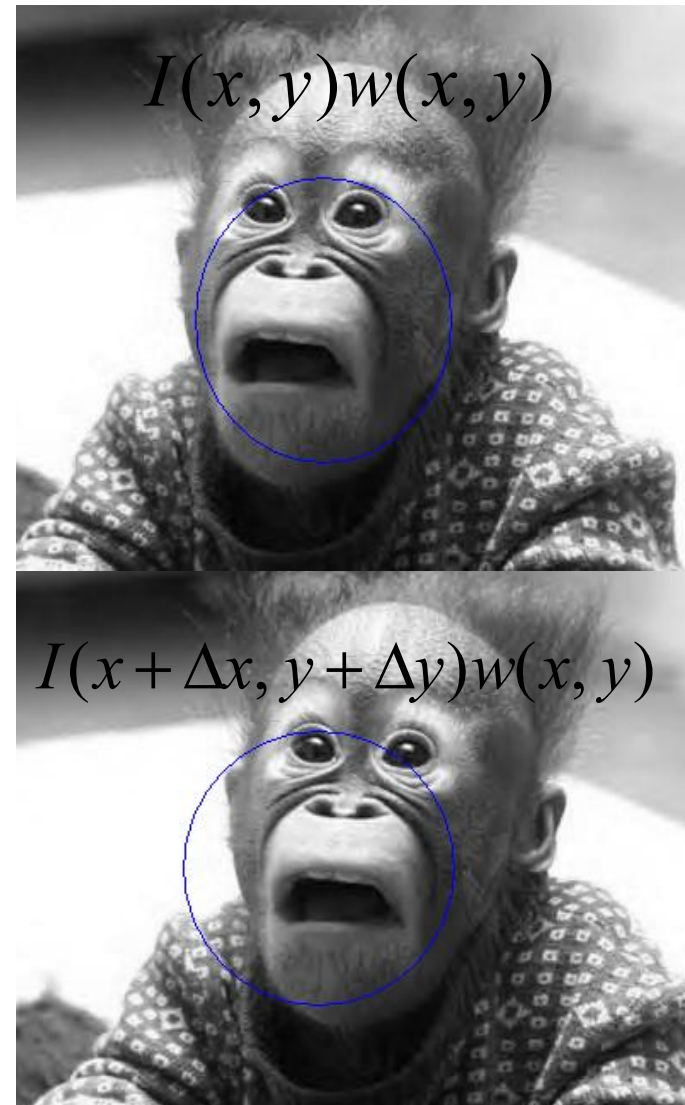
Detección de puntos de interés

- Veremos distintos detectores de puntos de interés
 - Detector de Moravec (esquinas)
 - Detector de Shi-Tomasi (esquinas)
 - Detector de Harris (esquinas)
 - SDoG (centro-contorno, multi-resolución)
 - Harris-Laplace (esquinas, multi-resolución)
 - SURF (multi-resolución)

Detector de Puntos de Interés de Moravec

Detección de puntos de interés

- Detector de esquinas de Moravec (antiguo)
 - Se tiene una imagen $I(x,y)$ y una función ventana $w(x,y)$.
 - A través de la ventana podemos mirar la imagen $(I(x,y)w(x,y))$ y una versión desplazada en $(\Delta x, \Delta y)$ de la imagen $(I(x+\Delta x, y+\Delta y)w(x,y))$



Detección de puntos de interés

- Se calcula la resta entre lo que se ve a través de la ventana y la energía:

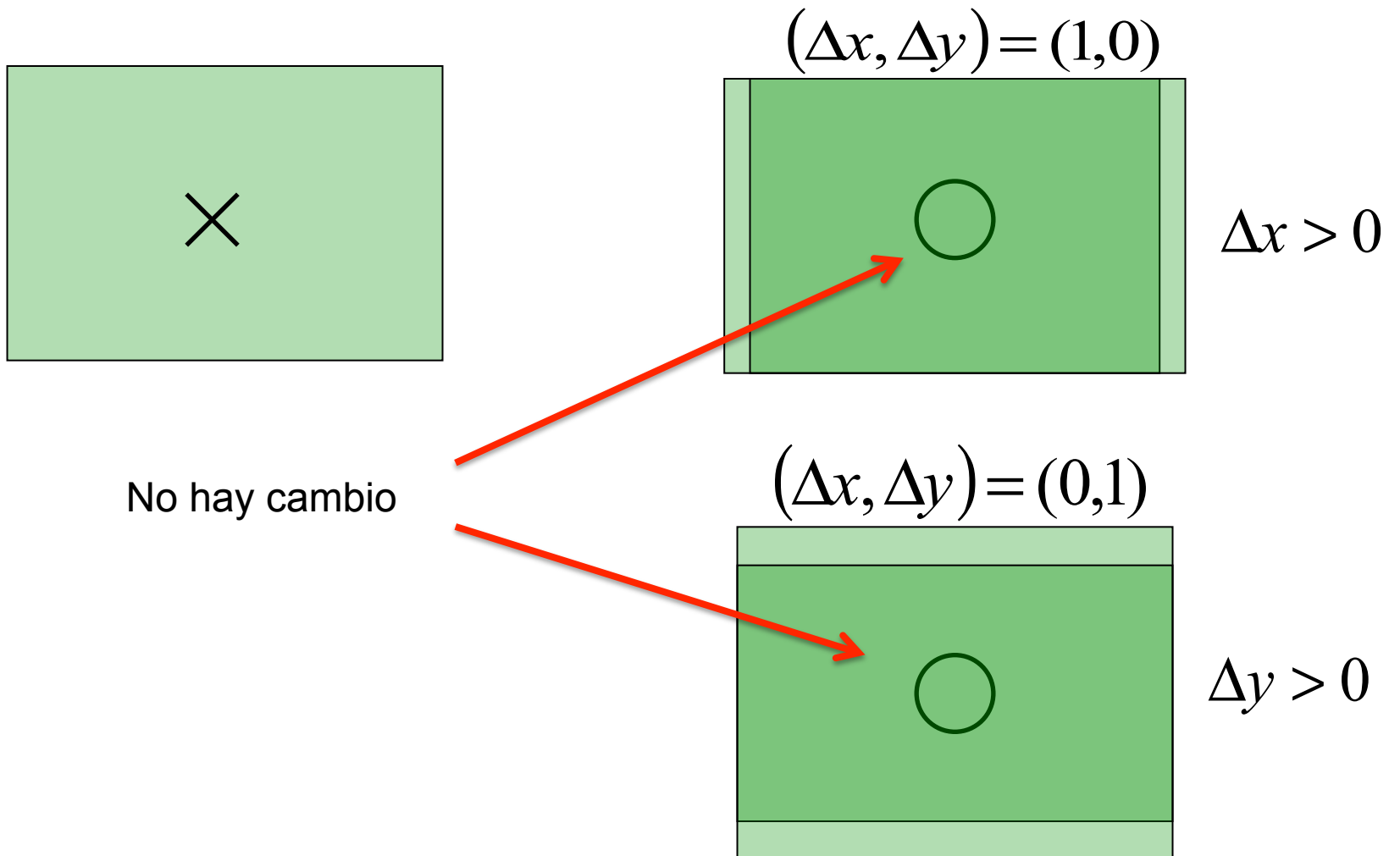
$$d(x, y; \Delta x, \Delta y) = w(x, y)(I(x + \Delta x, y + \Delta y) - I(x, y))$$

$$E(x, y; \Delta x, \Delta y) = \sum_{x, y} w(x, y)(I(x + \Delta x, y + \Delta y) - I(x, y))^2$$

- Se puede calcular $E(x, y; \Delta x, \Delta y)$ para distintos valores de $\Delta x, \Delta y$
- Veamos qué sucede cuando el centro de la ventana es una zona plana, un borde y una esquina

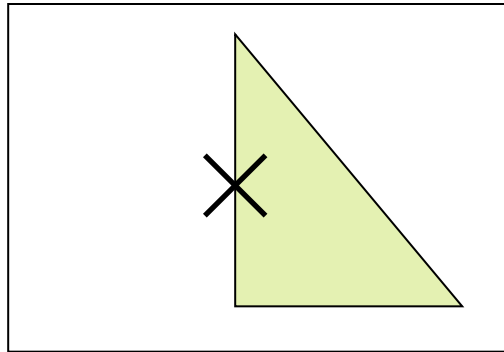
Detección de puntos de interés

Ventana sobre zona constante

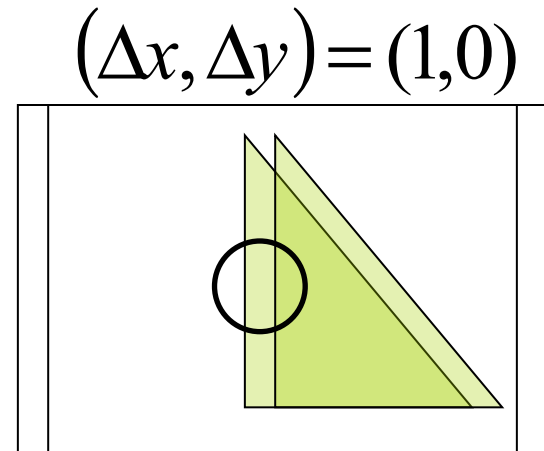


Detección de puntos de interés

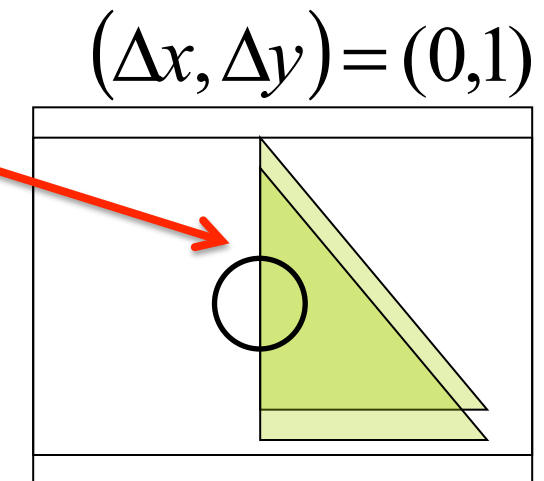
Ventana sobre un borde



No hay cambio



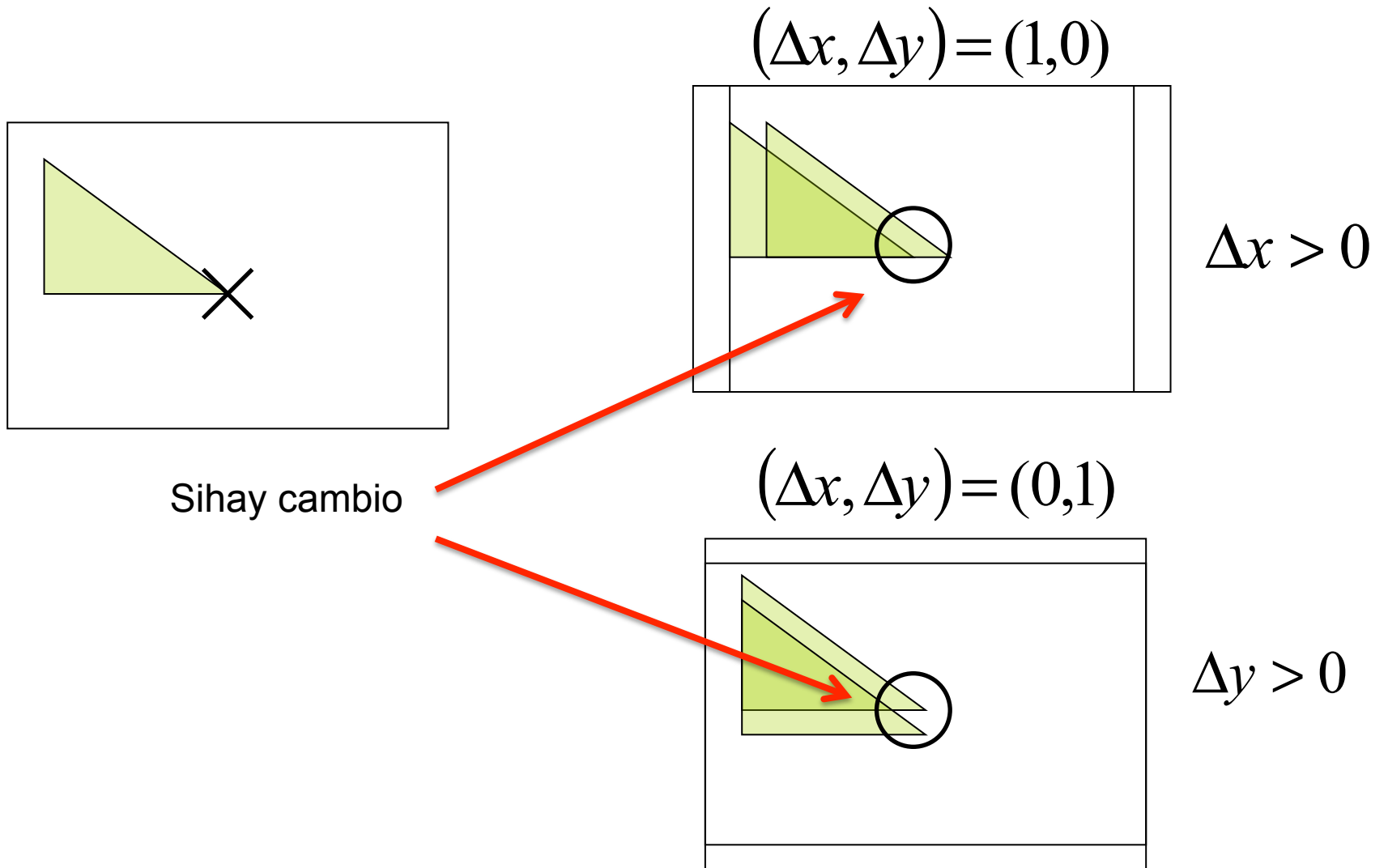
$\Delta x > 0$



$\Delta y > 0$

Detección de puntos de interés

Ventana sobre una esquina



Detección de puntos de interés

- Energía de la resta a través de la ventana
 - Plano (constante)
 - $E=0$ para todos los $\Delta x, \Delta y$
 - Borde
 - $E=0$ para los $\Delta x, \Delta y$ paralelos al borde
 - $E>0$ para los $\Delta x, \Delta y$ perpendiculares al borde
 - Esquina
 - $E>0$ para todos los $\Delta x, \Delta y \Rightarrow$ Sólo las esquinas
 - Se pueden usar las 4 direcciones $(1,0)$, $(1,1)$, $(0,1)$, $(-1,1)$

Detección de puntos de interés

$$E(x_0, y_0, \Delta x, \Delta y) = \sum_{x, y} w(x - x_0, y - y_0) (I(x + \Delta x, y + \Delta y) - I(x, y))^2$$

$$I_1(x, y) = E(x, y, 1, 0), \quad I_2(x, y) = E(x, y, 1, 1)$$

$$I_3(x, y) = E(x, y, 0, 1), \quad I_4(x, y) = E(x, y, -1, 1)$$

- Se calcula I_{MIN} :

$$I_{MIN}(x, y) = MIN\{I_1(x, y), I_2(x, y), I_3(x, y), I_4(x, y)\}$$

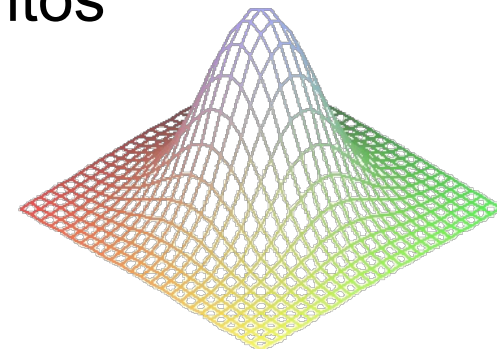
- Se buscan los máximos de I_{MIN} , que son puntos de interés asociados a esquinas.

Detector de Puntos de Interés de Shi-Tomasi y de Harris

Detección de puntos de interés

- Detector de esquinas de Harris
 - Mejora del anterior, que presentaba problemas frente a rotaciones y mala localización de puntos
 - La ventana es una gaussiana $N(x,y,\sigma_I)$

$$w(x,y;\sigma_I) = N(x,y,\sigma_I)$$



- En vez de diferencias $\Delta x, \Delta y$ se usan derivadas calculadas sobre una versión suavizada (filtrada pasabajos con gaussiana σ_D) $L(x,y)$ de la imagen

$$L(x,y,\sigma_D) = I(x,y) * N(x,y,\sigma_D), \quad \sigma_I > \sigma_D$$

Detección de puntos de interés

- La expresión a evaluar es:

$$\text{Moravec} : E(x_0, y_0, \Delta x, \Delta y) = \sum_{x,y} w(x - x_0, y - y_0) (I(x + \Delta x, y + \Delta y) - I(x, y))^2$$

$$\text{Harris} : E(x_0, y_0, \Delta x, \Delta y) = \sum_{x,y} w_{SUAVE}(x - x_0, y - y_0) (I_{SUAVE}(x + \Delta x, y + \Delta y) - I_{SUAVE}(x, y))^2$$

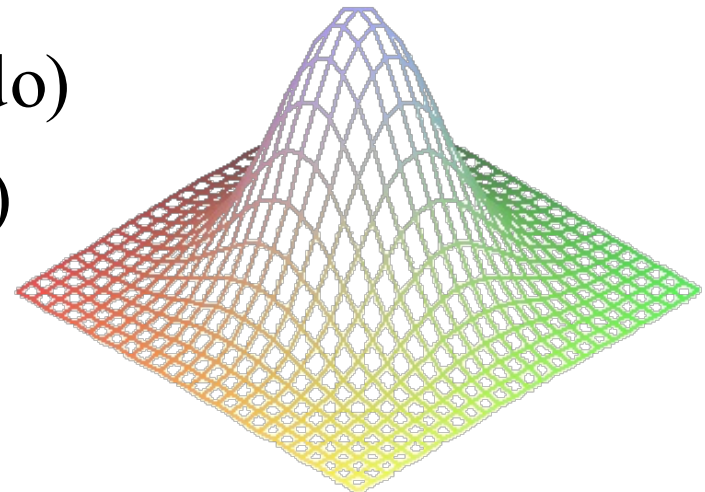
$$w_{SUAVE}(x - x_0, y - y_0) = N(x - x_0, y - y_0, \sigma_I)$$

$$I_{SUAVE}(x, y) = L(x, y, \sigma_D) = I(x, y) * N(x, y, \sigma_D)$$

σ_D : escala de derivación (suavizado)

σ_I : escala de integración (ventana)

$$\sigma_I > \sigma_D$$



Detección de puntos de interés

$$\Delta I(x, y) = I_{SUAVE}(x + \Delta x, y + \Delta y) - I_{SUAVE}(x, y)$$

$$\Delta I(x, y) = L(x + \Delta x, y + \Delta y, \sigma_D) - L(x, y, \sigma_D) = \frac{\partial L}{\partial x} \Delta x + \frac{\partial L}{\partial y} \Delta y + O(\Delta x^2, \Delta y^2)$$

$$\Delta I^2(x, y) = \left(\frac{\partial L}{\partial x} \right)^2 \Delta x^2 + \left(\frac{\partial L}{\partial y} \right)^2 \Delta y^2 + 2 \frac{\partial L}{\partial x} \frac{\partial L}{\partial y} \Delta x \Delta y$$

$$\Delta I^2(x, y) = (\Delta x, \Delta y) \begin{bmatrix} \left(\frac{\partial L}{\partial x} \right)^2 & \frac{\partial L}{\partial x} \frac{\partial L}{\partial y} \\ \frac{\partial L}{\partial x} \frac{\partial L}{\partial y} & \left(\frac{\partial L}{\partial y} \right)^2 \end{bmatrix} \begin{pmatrix} \Delta x \\ \Delta y \end{pmatrix} = (\Delta x, \Delta y) A_{(x,y)} \begin{pmatrix} \Delta x \\ \Delta y \end{pmatrix}$$

$$E(x, y; \Delta x, \Delta y) = \sum_{x,y} N(x - x_0, y - y_0, \sigma_I) (\Delta x, \Delta y) A_{(x,y)} \begin{pmatrix} \Delta x \\ \Delta y \end{pmatrix} = (\Delta x, \Delta y) \left(\sum_{x,y} N(x - x_0, y - y_0, \sigma_I) A_{(x,y)} \right) \begin{pmatrix} \Delta x \\ \Delta y \end{pmatrix}$$

$$E(x, y; \Delta x, \Delta y) = (\Delta x, \Delta y) \mu(x_0, y_0) \begin{pmatrix} \Delta x \\ \Delta y \end{pmatrix}$$

Detección de puntos de interés

$$L(x, y, \sigma_D) = I(x, y) * N(x, y, \sigma_D) \Rightarrow I_{SUAVE}(x, y)$$

$$\mu(x_0, y_0) = N(x - x_0, y - y_0, \sigma_I) * \begin{pmatrix} \frac{\partial L}{\partial x} & \frac{\partial L}{\partial x} & \frac{\partial L}{\partial x} & \frac{\partial L}{\partial y} \\ \frac{\partial L}{\partial x} & \frac{\partial L}{\partial x} & \frac{\partial L}{\partial y} & \frac{\partial L}{\partial y} \\ \frac{\partial L}{\partial y} & \frac{\partial L}{\partial x} & \frac{\partial L}{\partial y} & \frac{\partial L}{\partial y} \end{pmatrix}$$

Matriz

$$E(x_0, y_0, \Delta x, \Delta y) = (\Delta x, \Delta y) \mu(x_0, y_0) \begin{pmatrix} \Delta x \\ \Delta y \end{pmatrix}$$

- La matriz $\mu(x, y)$ es simétrica y definida ≥ 0
- Se desea elegir puntos (x_0, y_0) donde la energía sea grande para cualquier dirección de desplazamiento $(\Delta x, \Delta y)$

Detección de puntos de interés

$$E(x_0, y_0, \Delta x, \Delta y) = (\Delta x, \Delta y) \mu(x_0, y_0) \begin{pmatrix} \Delta x \\ \Delta y \end{pmatrix} = v^T \mu v$$

- Si los valores propios de μ son $\{\lambda_1, \lambda_2\}$ y sus vectores propios $\{v_1, v_2\}$:

$$\mu = \begin{pmatrix} \cos \theta & -\sin \theta \\ \sin \theta & \cos \theta \end{pmatrix} \begin{pmatrix} \lambda_1 & \\ & \lambda_2 \end{pmatrix} \begin{pmatrix} \cos \theta & \sin \theta \\ -\sin \theta & \cos \theta \end{pmatrix}$$
$$v^T \mu v = (\dots) \times \lambda_1 + (\dots) \times \lambda_2$$

- Para que la energía sea grande en cualquier dirección de desplazamiento, los dos valores propios de μ deben ser grandes. (E es energía => son positivos).

Detección de puntos de interés

$$E(x_0, y_0, \Delta x, \Delta y) = (\Delta x, \Delta y) \mu(x_0, y_0) \begin{pmatrix} \Delta x \\ \Delta y \end{pmatrix} = v^T \mu v$$

- Si los valores propios de μ son $\{\lambda_1, \lambda_2\}$ y sus vectores propios $\{v_1, v_2\}$:

$$E = (\Delta x \quad \Delta y) \mu \begin{pmatrix} \Delta x \\ \Delta y \end{pmatrix}$$

$$E = (\Delta x \quad \Delta y) R \begin{bmatrix} \lambda_1 & 0 \\ 0 & \lambda_2 \end{bmatrix} R^T \begin{pmatrix} \Delta x \\ \Delta y \end{pmatrix}$$

$$E = (\Delta x_R \quad \Delta y_R) \begin{bmatrix} \lambda_1 & 0 \\ 0 & \lambda_2 \end{bmatrix} \begin{pmatrix} \Delta x_R \\ \Delta y_R \end{pmatrix}$$

- Los valores propios de μ deben ser grandes.

Detección de puntos de interés

- Los dos valores propios de $\mu(x,y)$, llamados $\lambda_1(x,y)$ y $\lambda_2(x,y)$ deben ser grandes en (x,y) para que haya esquina
- Varios detectores según cómo se especifique esto:
 - Detector de Shi y Tomasi: se define

$$\text{cornerness}(x, y) = \min(\lambda_1(x, y), \lambda_2(x, y))$$
$$\text{puntos de interés} = \max \{ \text{cornerness}(x, y) \}$$

Detección de puntos de interés

- Detector de Harris

$$\det \mu = \mu_{11}\mu_{22} - \mu_{21}\mu_{12} = \lambda_1\lambda_2$$

$$\text{Tr } \mu = \mu_{11} + \mu_{22} = \lambda_1 + \lambda_2$$

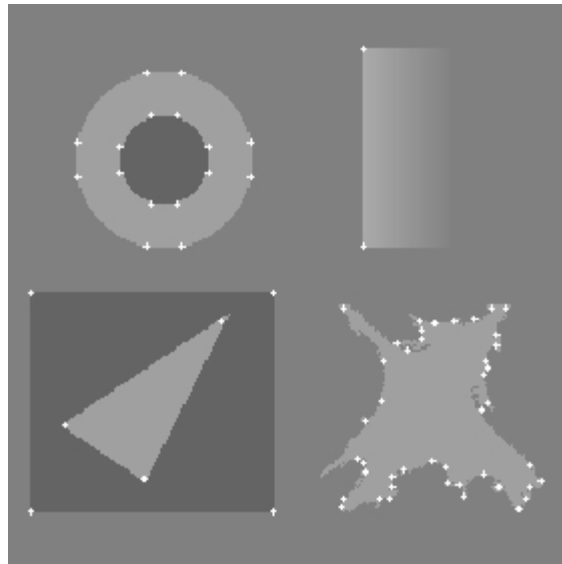
$$\text{cornerness}(x, y) = \det(\mu(x, y)) - \alpha \text{Tr}^2(\mu(x, y))$$

$$\text{puntos de interés} = \max \{ \text{cornerness}(x, y) \}$$

- Se pide que el producto de los valores propios sea grande en comparación con su suma => los dos valores propios deben ser grandes a la vez

Detección de puntos de interés

- Ejemplo de puntos detectados usando Harris



- Los puntos de interés encontrados coinciden en general con esquinas. Hay problemas con cambios de escala en las imágenes.